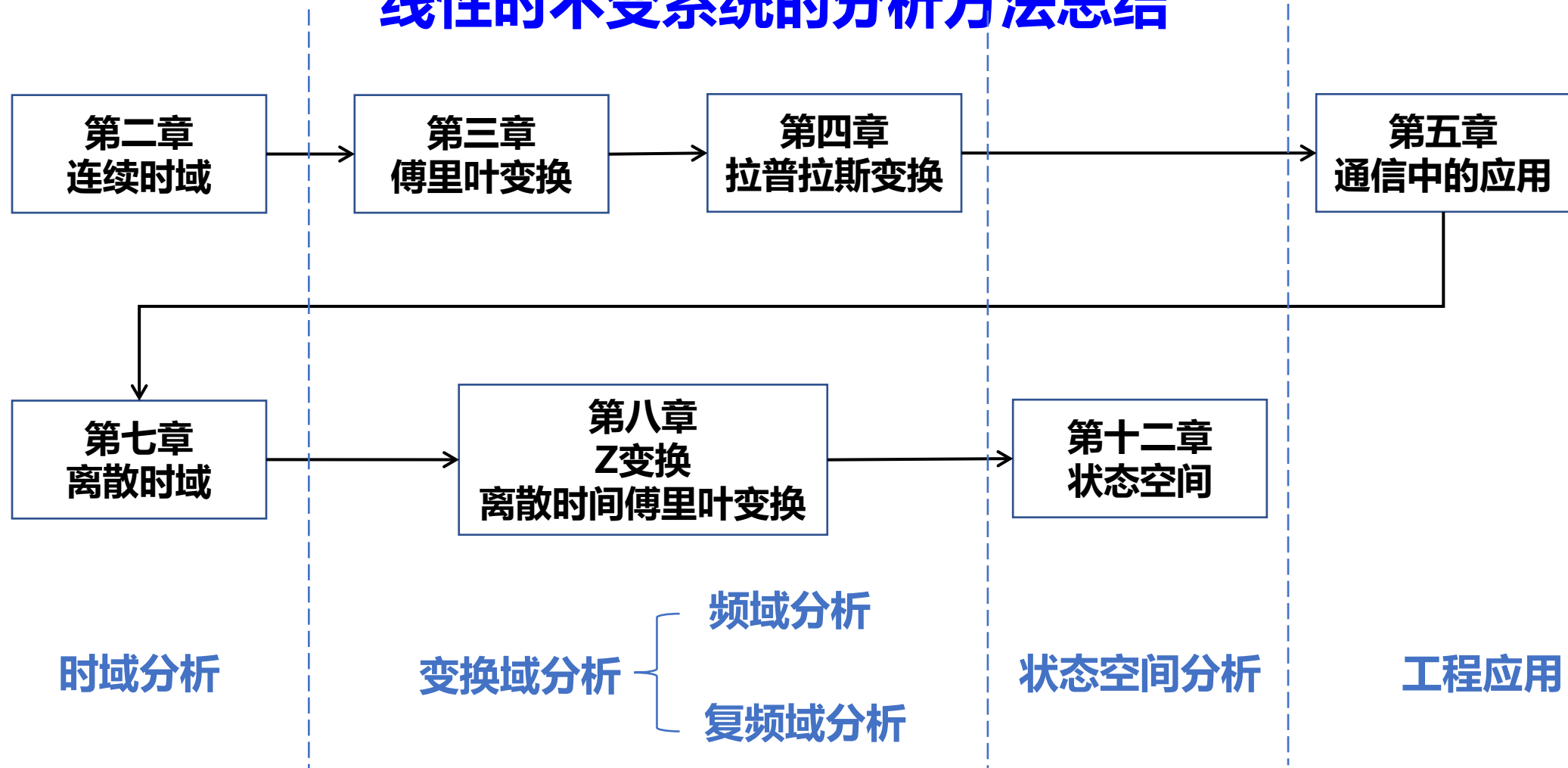


线性时不变系统的分析方法总结



线性时不变系统的分析方法总结

从系统的数学描述方法来分：

- { 输入、输出分析法：一个 n 阶微（差）分方程，适合于单输入单输出系统
 (第二、三、四、七、八章)
- 状态变量分析法： n 个一阶微（差）分方程组，适合于多输入多输出系统
 (第十二章)

从系统数学模型求解方法来分：

- { 时域分析法：不经过任何变换，在时域中直接求解响应 (第二、七章)
- 变换域分析法：将信号和系统模型的时间函数转换成相应某变换域的函数，如
 傅里叶变换 (第三、五章)、拉普拉斯变换 (第四章)、Z 变换 (第八章) 等。

第一章

1. 理解信号的分类方法
2. 了解典型信号的特性和物理意义；
3. 熟练掌握信号的运算，能按步骤正确画出时移、反褶、尺度变换后的波形；
4. 熟悉奇异信号的特性、作用和相互关系，特别是阶跃函数和冲激函数。
5. 掌握任意信号分解为脉冲分量的方法；
6. 了解系统不同的分类方法；
7. 能准确判断系统的线性、时变性、因果性；
8. 初步了解系统的分析方法。

第二章

1. 熟悉建立系统微分方程的方法 (如何消去中间变量) ;
2. **熟练掌握**经典法求系统的自由响应和强迫响应;
3. **熟练利用**冲激函数匹配法确定起始点状态的跳变量。
4. **熟练掌握**卷积计算方法和性质;
5. **熟练运用**卷积求零状态响应;
6. 简单了解用算子法解微分方程的优点及局限性, 为运用拉普拉斯变换解微分方程打下基础;
7. 进一步了解冲激函数的性质。

第三章

1. 了解频域分析法提出的背景、过程和新应用；
2. 熟练掌握周期信号的三角函数和指数形式的傅里叶级数分析方法；
3. 熟练运用波形的对称性与谐波特性的关系获得傅里叶级数；
4. 熟悉矩形波等典型周期信号的傅里叶级数的特性。
5. 深入了解傅里叶变换和傅里叶级数的关联和区别；
6. 熟练掌握典型非周期信号、冲激函数和阶跃函数的傅里叶变换。
7. 熟练运用傅里叶变换的各种性质求复杂信号的傅里叶变换（重要！）
8. 熟练掌握时域卷积定理和频域卷积定理及其应用；
9. 熟悉周期信号的傅里叶变换与傅里叶级数的关系；
10. 熟练掌握抽样定理及其应用。

第四章

1. 理解拉普拉斯变换的定义及其与傅里叶变换的关系；
2. 熟悉拉普拉斯变换的基本性质。
3. **熟练掌握部分分式法求拉普拉斯逆变换；**
4. **熟练使用拉普拉斯逆变换分析电路等系统。**
5. **熟练掌握系统函数、系统微分方程、系统模拟框图之间的相互关联（重要）；**
6. 能用**系统函数零、极点分布定性判断冲激响应的特性；**
7. **熟练运用系统函数分析零状态响应的时域特性；**
8. **熟练运用系统函数零、极点分布，粗略画出频响特性曲线（重要）。**
9. **巩固运用系统函数零、极点分布分析频响特性的能力；**
10. 了解**全通函数与最小相移函数的零、极点分布特点；**
11. **熟练运用系统函数判断系统的稳定性。**
12. 熟悉双边拉氏变换的收敛域与原函数的对应关系；
13. 了解拉氏变换与傅里叶变换的对应关系。

第七章

1. 了解离散时间信号和系统的应用；
2. 了解常见序列的特性，会正确分析序列的周期性；
3. 熟悉序列的基本运算；
4. 了解离散时间系统差分方程的构建
5. **熟悉差分方程的经典时域求解方法，正确使用边界条件；**
6. **熟悉单位样值响应的求解；**
7. **熟练掌握卷积和求零状态响应。**

第八章

1. 了解z变换与拉氏变换的关联；
2. 熟悉常见序列的z变换及其收敛域；
3. 会分析各种类型序列的收敛域。
4. **熟练掌握用部分分式法求逆z变换；**
5. **熟练掌握z变换的基本性质；**
6. 会分析利用z变换的基本性质时对收敛域的影响。
7. **熟悉s平面和z平面的映射关系；**
8. **熟练掌握利用z变换求零状态响应；**
9. **熟练掌握系统函数、差分方程、模拟框图的映射关系；**
10. 了解系统函数极点分布和单位样值响应特征的关系；
11. **熟悉系统稳定性和因果性的判定方法。**
12. 理解模拟角频率和数字角频率的区别，理解序列的傅里叶变换的周期性；
13. **熟练运用离散时间系统的频率响应求稳态响应；**
14. **熟练运用系统函数的零极点分布图粗略画出频响特性曲线。**

第十一、十二章

1. 给定微分（差分）方程/系统函数，能熟练画出系统信号流图；
2. 能熟练建立连续时间系统的状态方程、输出方程；
3. 了解状态变量分析下特征矩阵、转移矩阵、系统函数等变量的定义；
4. 了解连续时间系统状态方程、输出方程的s域和时域求解方法。
5. 能熟练建立离散时间系统的状态方程、输出方程，画出信号流图；
6. 了解离散时间系统的特征矩阵、转移矩阵的定义，以及状态方程和输出方程的时域/z域求解方法；
7. 理解A矩阵对角化的意义和作用；
8. 会判断简单系统的可控制性、可观测性。

1. 已知LTI系统的微分方程、输入、完全响应。

- (1) 给出自由响应、强迫响应；
- (2) 根据冲激函数匹配法，求系统初始状态
- (3) 求系统零输入和零状态响应

基本原理——线性叠加：微分方程的完全解=齐次解+特解 $r(t) = r_h(t) + r_p(t) = A_1 e^{\alpha_1 t} + A_2 e^{\alpha_2 t} + \cdots + A_n e^{\alpha_n t} + r_p(t)$

一般步骤：

- 1) 根据电路图列微分方程，建立输入 $e(t)$ 和输出 $r(t)$ 的数学关系；
- 2) 求齐次解 $r_h(t)$ 的形式：列特征方程，求特征根，获得齐次解的形式，系数待定；
- 3) 求特解 $r_p(t)$ ：与激励信号 $e(t)$ 的形式有关，查表，得到特解形式，代入原方程平衡系数，求得特解；
- 4) 求完全解 $r(t)$ ：代入初始条件 $0+$ ，获得齐次解系数，得到最终的完全解。

结论：齐次解(**自由响应**)的函数特性仅依赖于系统本身特性，与激励信号的函数形式无关，但**确定系数有关**；而特解(**强迫响应**)的形式由激励函数决定。

冲激函数匹配法 → 解决 0- 到 0+ 的跳变问题

匹配的原理: $t = 0$ 时刻微分方程左右两端的 $\delta(t)$ 及各阶导数应该平衡
(其它项也应该平衡, 我们讨论初始条件, 可以不管其它项)

例2-5: $\frac{d}{dt}r(t) + 3r(t) = 3\delta'(t)$, 已知 $r(0_-) = 1$, 求 $r(0_+)$ 。

解: 方程右端含 $\delta'(t)$ 项, 它一定属于 $\frac{d}{dt}r(t)$

设 $\frac{d}{dt}r(t) = a\delta'(t) + b\delta(t)$ 则 $r(t) = a\delta(t) + b\Delta u(t)$

代入方程 $a\delta'(t) + b\delta(t) + 3a\delta(t) + 3b\Delta u(t) = 3\delta'(t)$

$\Delta u(t)$: 相对单位跳变函数

表示 0_- 到 0_+ 幅度跳变一个单位

得出 $\begin{cases} a = 3 \\ b + 3a = 0 \end{cases}$ 即 $\begin{cases} a = 3 \\ b = -9 \end{cases}$

所以得 $r(0_+) - r(0_-) = b = -9$
即 $r(0_+) = r(0_-) - 9 = 1 - 9 = -8$

1. 零输入响应的定义与待定系数确定

① 定义：没有外加激励信号作用，完全由起始状态所产生的响应，即 $r_{zi}(t) = H[\{x(0_-)\}]$

② 满足方程： $C_0 \frac{d^n}{dt^n} r_{zi}(t) + \dots + C_{n-1} \frac{d}{dt} r_{zi}(t) + C_n r_{zi}(t) = 0$

故 $r_{zi}(t)$ 是一种齐次解形式，即 $r_{zi}(t) = \sum_{k=1}^n A_{zik} e^{\alpha_k t}$ ← 注意：和自由响应的系数不同

其中， $\alpha_1, \alpha_2, \dots, \alpha_n$ 为互不相等的 n 个系统特征根。

③ 初始条件： $r_{zi}^{(k)}(0_+) = r_{zi}^{(k)}(0_-) = r^{(k)}(0_-)$ ← 非时变系统

即齐次解 $r_{zi}(t)$ 的待定系数用 $r^{(k)}(0_-)$ 确定即可！

2. 已知周期矩形脉冲信号波形（含有脉宽、幅度、周期等信息）。

(1) 求傅里叶级数的展开系数表达式；

矩形脉冲信号的傅里叶变换，及其与傅里叶级数系数的关系。

(2) 求傅里叶变换的表达式

周期信号的频谱及性质。

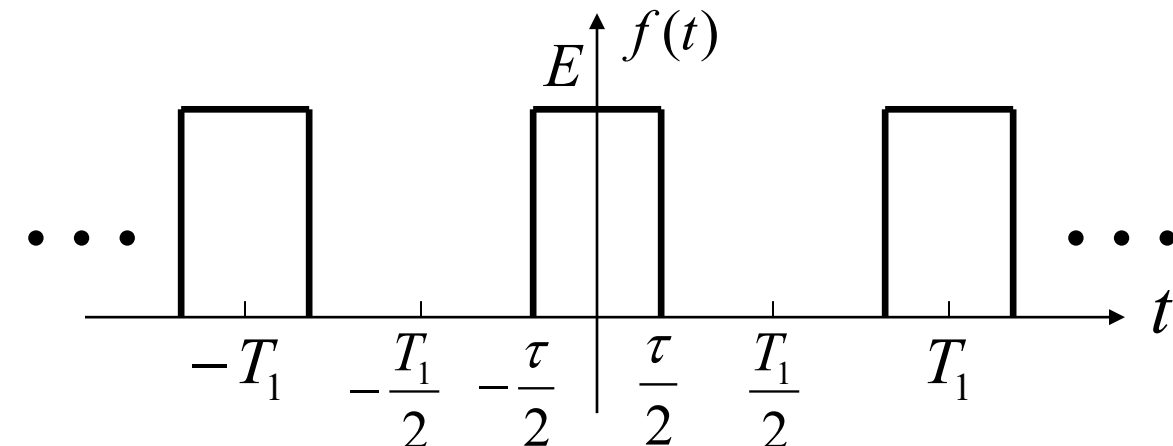
(3) 画出信号的幅度谱，以及主要参数；如果信号周期增大1倍，幅度谱如何变换？

常用信号频谱，以及卷积后信号的频谱变化。

3.3 典型周期信号的傅里叶级数

周期矩形脉冲信号

(1) 周期矩形脉冲信号的傅里叶级数

三要素：脉宽 τ 、脉幅 E 、周期 T_1  $b_n = 0$ (在偶函数的傅里叶级数中不会有正弦项)

$$a_0 = \frac{2}{T_1} \int_0^{\frac{T_1}{2}} f(t) dt = \frac{2}{T_1} \int_0^{\frac{\tau}{2}} E dt = \frac{E\tau}{T_1}$$

$$a_n = \frac{4}{T_1} \int_0^{\frac{T_1}{2}} f(t) \cos n\omega_1 t dt = \frac{4}{T_1} \int_0^{\frac{\tau}{2}} E \cos n\omega_1 t dt = \frac{2E\tau}{T_1} \text{Sa}\left(\frac{n\omega_1\tau}{2}\right) = c_n$$

周期矩形脉冲信号的三角形式傅里叶级数为

$$f(t) = \frac{E\tau}{T_1} + \frac{2E\tau}{T_1} \sum_{n=1}^{\infty} \text{Sa}\left(\frac{n\omega_1\tau}{2}\right) \cos n\omega_1 t$$

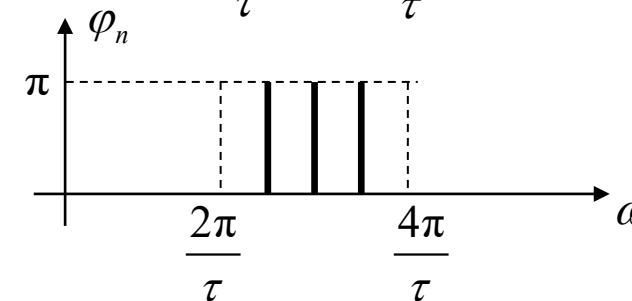
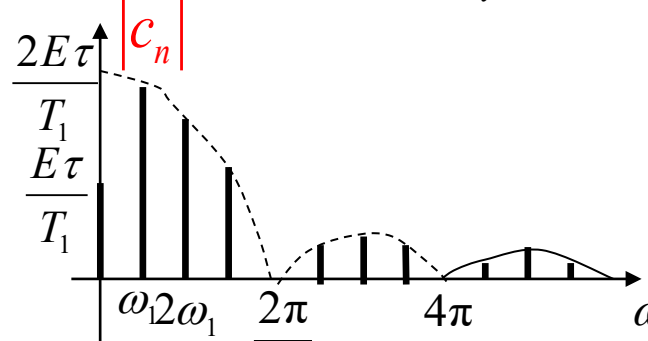
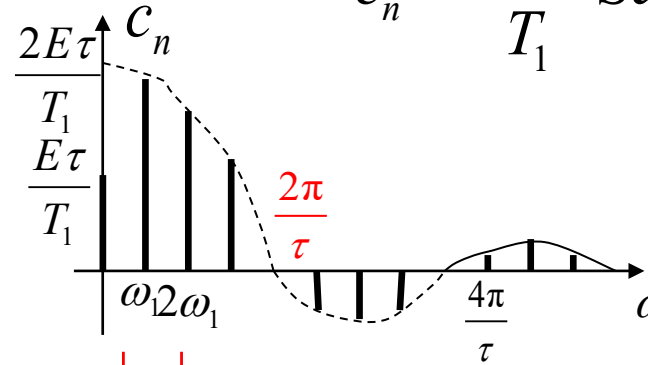
因为 $F_n = \frac{1}{2}(a_n - jb_n) = \frac{1}{2}a_n = \frac{E\tau}{T_1} \text{Sa}\left(\frac{n\omega_1\tau}{2}\right)$

$f(t)$ 的指数形式的傅里叶级数为

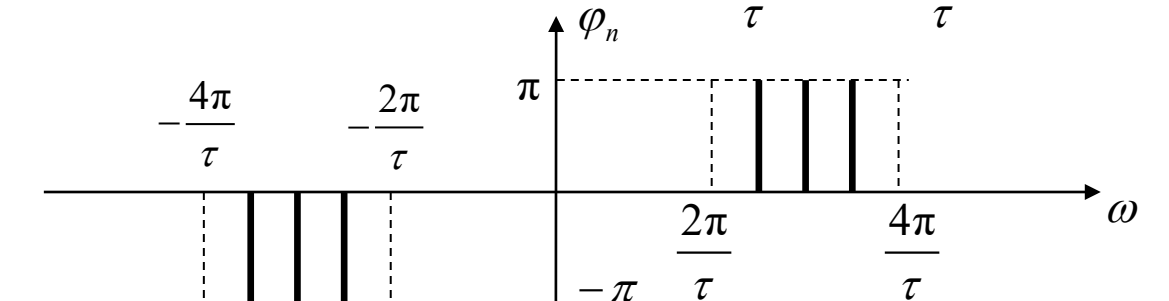
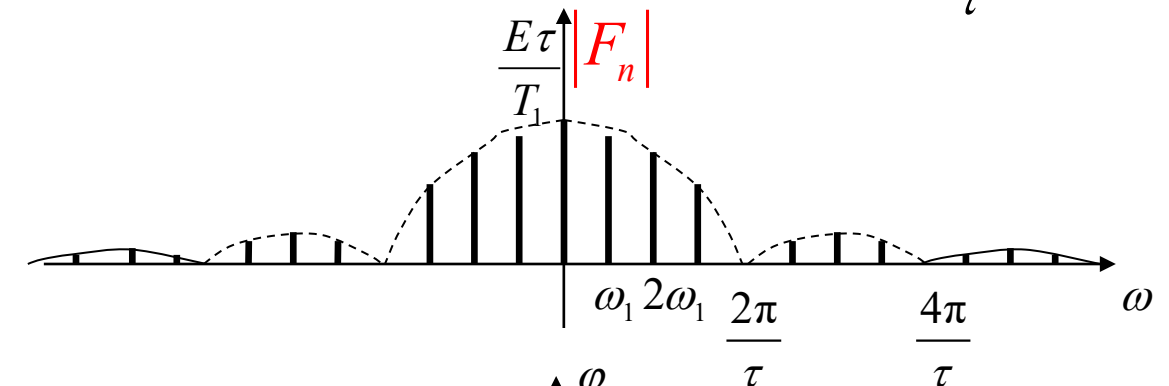
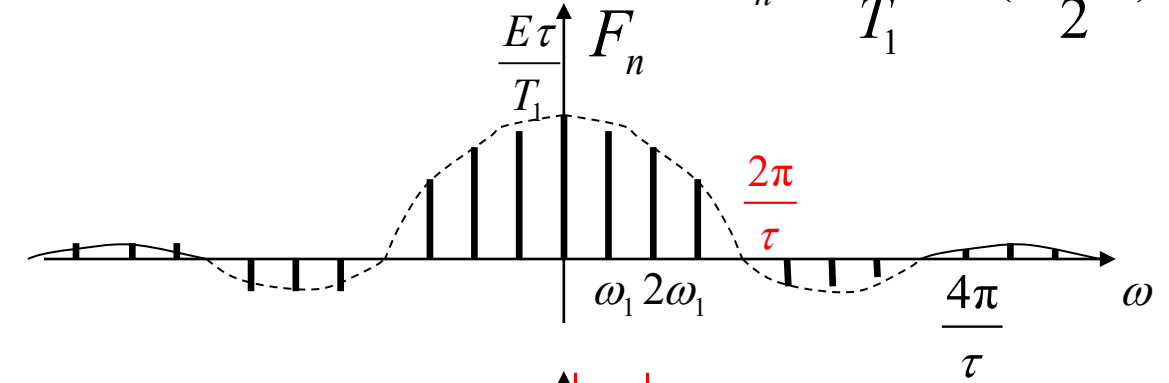
$$f(t) = \frac{E\tau}{T_1} \sum_{n=-\infty}^{\infty} \text{Sa}\left(\frac{n\omega_1\tau}{2}\right) e^{jn\omega_1 t}$$

(2) 频谱图

$$c_n = \frac{2E\tau}{T_1} \text{Sa}\left(\frac{n\omega_1\tau}{2}\right)$$

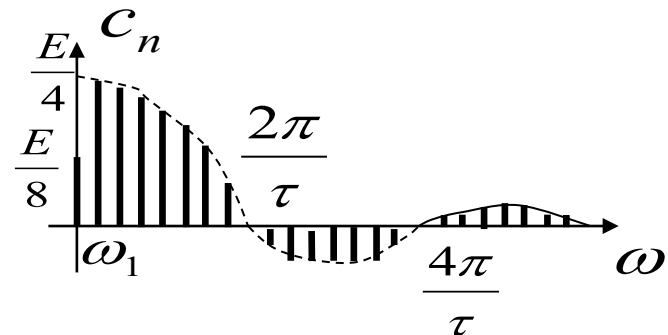
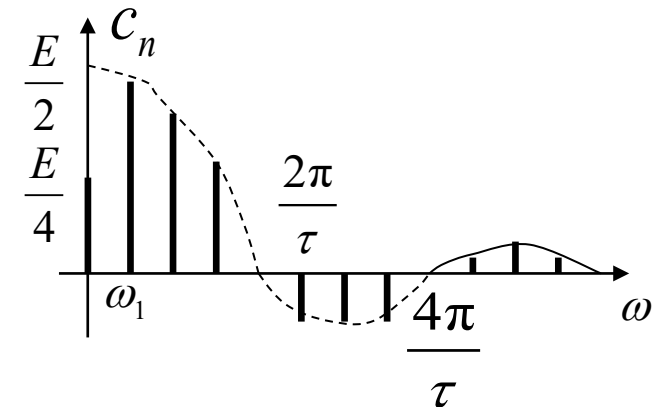
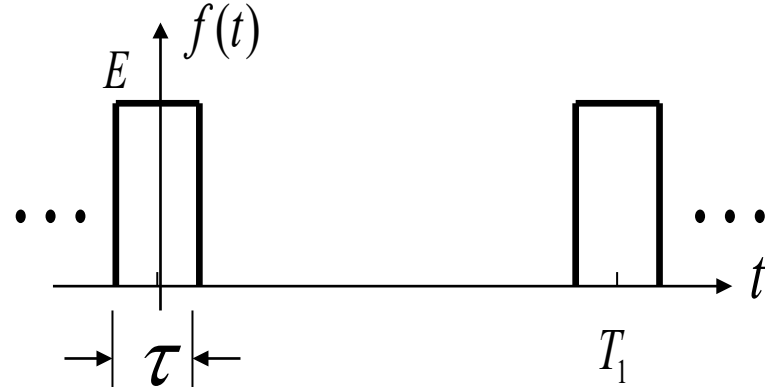
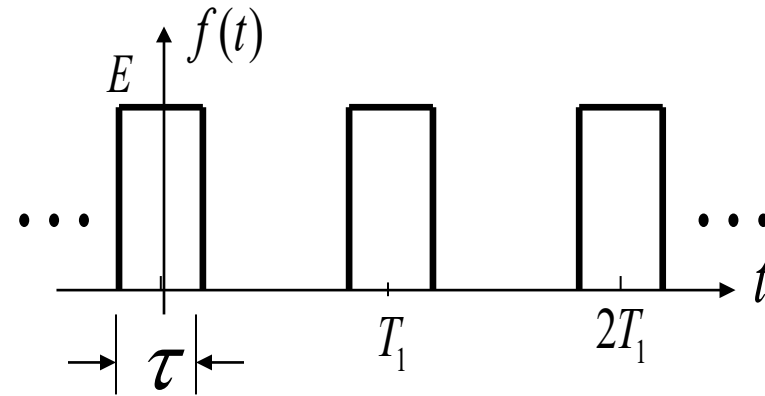


$$F_n = \frac{E\tau}{T_1} \text{Sa}\left(\frac{n\omega_1\tau}{2}\right)$$

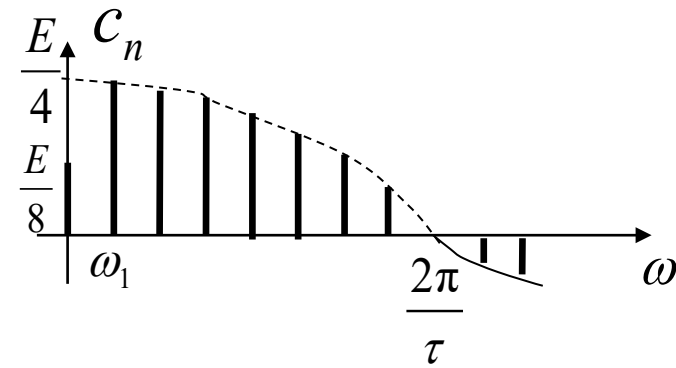
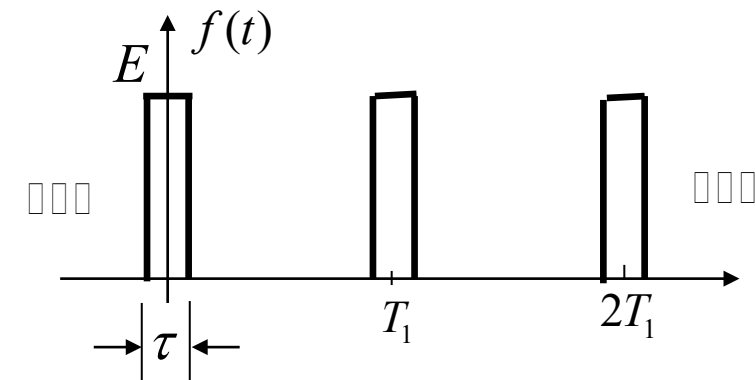
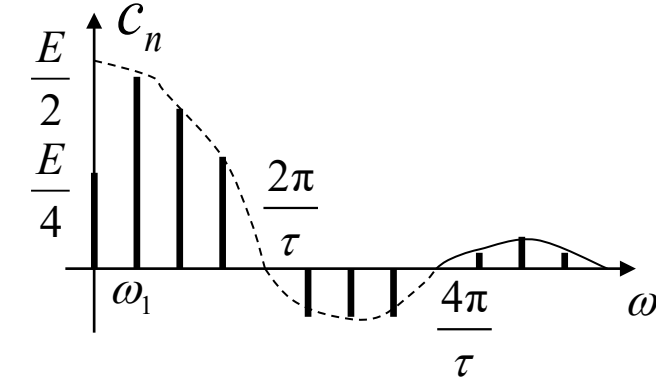
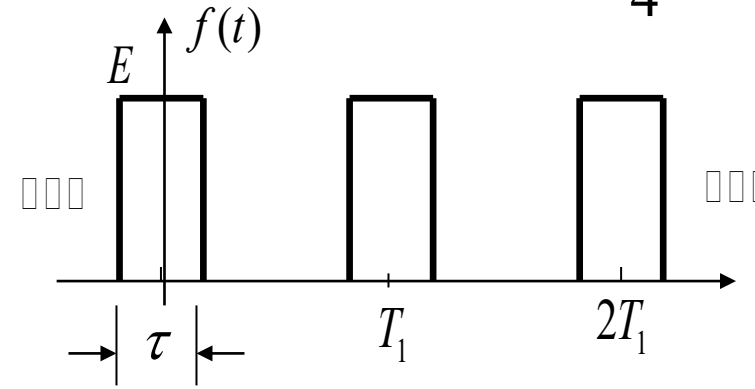


(3) 频谱结构与波形参数的关系 (T_1, τ)

a) 若 τ 不变, T_1 扩大一倍, 即 $T_1 = 4\tau \rightarrow T_1 = 8\tau$



b) 若 T_1 不变, τ 减小一半, 即 $\tau = \frac{T_1}{4} \rightarrow \tau = \frac{T_1}{8}$



谱线间隔 $\omega_1 (= \frac{2\pi}{T_1})$ 只与周期 T_1 有关, 且与 T_1 成反比;

零值点频率 $\frac{2\pi}{\tau}$ 只与 脉冲宽度 τ 有关, 且与 τ 成反比;

谱线幅度 $\frac{2E\tau}{T_1}$ 与 T_1 和 τ 都有关系, 且与 T_1 成反比, 与 τ 成正比。

$$F(j\omega) = |F(j\omega)| e^{j\varphi(\omega)}$$

$|F(j\omega)|$ --幅度谱 频率 ω 的偶函数*

$\varphi(\omega)$ --相位谱 频率 ω 的奇函数*

与傅里叶级数的关系 (重点)

单个脉冲信号的傅里叶变换:

$$F_0(j\omega) = \int_{-\frac{T_1}{2}}^{\frac{T_1}{2}} f_0(t) e^{-j\omega t} dt \quad \text{-- } \omega \text{ 的连续谱}$$

周期信号的傅里叶级数展开:

$$f(t) = \sum_{n=-\infty}^{\infty} F_n e^{jn\omega_1 t}$$

级数展开的系数:

$$F_n = \frac{1}{T_1} \int_{-\frac{T_1}{2}}^{\frac{T_1}{2}} f(t) e^{-jn\omega_1 t} dt \quad \text{-- } \omega \text{ 的离散谱}$$

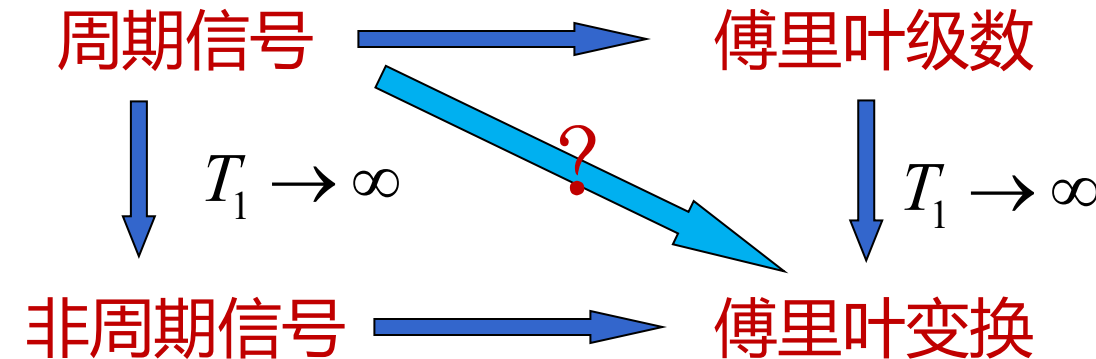
F_n 与 $F_0(j\omega)$ 的关系:

$$F_n = \left. \frac{F_0(j\omega)}{T_1} \right|_{\omega=n\omega_1}$$

→ 连续谱的离散化

重要结论: 周期脉冲序列的傅里叶级数的系数 F_n 等于单脉冲的傅里叶变换 $F_0(j\omega)$ 在 $n\omega_1$ 频率点的值乘以周期的倒数 $1/T_1$ 。

3.9 周期信号的傅里叶变换



3.9.1 正弦、余弦信号的傅里叶变换

$$\mathcal{F}[\cos \omega_0 t] = \pi[\delta(\omega + \omega_0) + \delta(\omega - \omega_0)]$$

$$\mathcal{F}[\sin \omega_0 t] = j\pi[\delta(\omega + \omega_0) - \delta(\omega - \omega_0)]$$

$$\mathcal{F}[e^{j\omega_0 t}] = 2\pi\delta(\omega - \omega_0)$$

3.9.2 一般周期信号的傅里叶变换

令周期信号 $f(t)$ 的周期为 T_1 , 角频率为 $\omega_1 = 2\pi f_1 = 2\pi / T_1$ 。它的傅里叶级数为

$$f(t) = \sum_{n=-\infty}^{\infty} F_n e^{jn\omega_1 t} \quad (1)$$

其中: $F_n = \frac{1}{T_1} \int_{-T_1/2}^{T_1/2} f(t) e^{-jn\omega_1 t} dt$ 或: $F_n = \frac{1}{T_1} F_0(j\omega)|_{\omega=n\omega_1}$

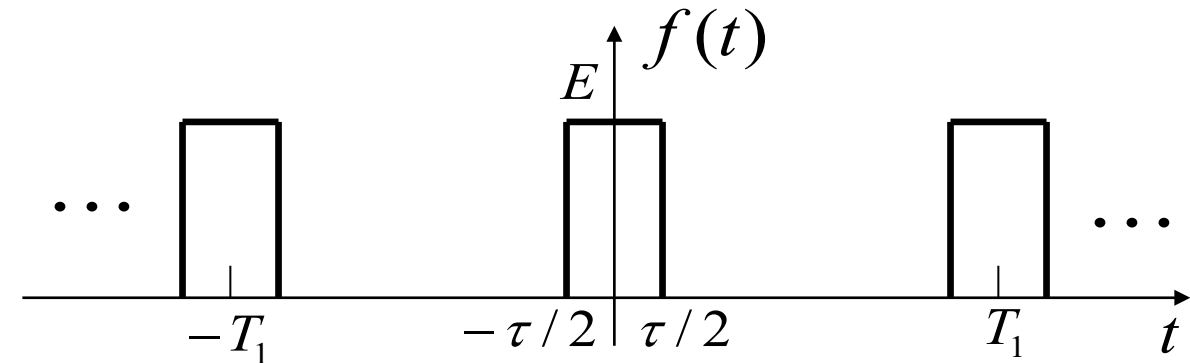
对式 (1) 两边取傅里叶变换

$$F(j\omega) = \mathcal{F}[f(t)] = \mathcal{F}\left[\sum_{n=-\infty}^{\infty} F_n e^{jn\omega_1 t}\right] = \sum_{n=-\infty}^{\infty} F_n \boxed{\mathcal{F}[e^{jn\omega_1 t}]} = 2\pi \sum_{n=-\infty}^{\infty} F_n \delta(\omega - n\omega_1)$$

即: $F(j\omega) = 2\pi \sum_{n=-\infty}^{\infty} F_n \delta(\omega - n\omega_1)$

周期信号 $f(t)$ 的傅里叶变换是由一系列冲激函数所组成的，这些冲激位于信号的谐频 ($0, \pm\omega_1, \pm 2\omega_1, \dots$) 处，每个冲激的强度等于 $f(t)$ 傅里叶级数相应系数 F_n 的 2π 倍。

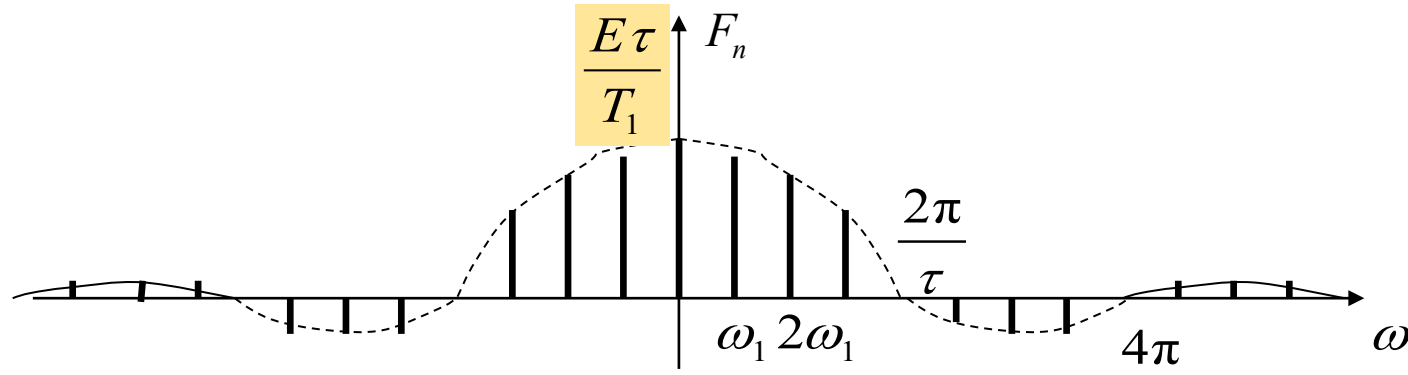
例3-19：求周期矩形脉冲信号的傅里叶级数及傅里叶变换。已知周期矩形脉冲信号 $f(t)$ 的幅度为 E , 脉宽为 τ , 周期为 T_1 , 角频率为 $\omega_1 = 2\pi f_1$ 。



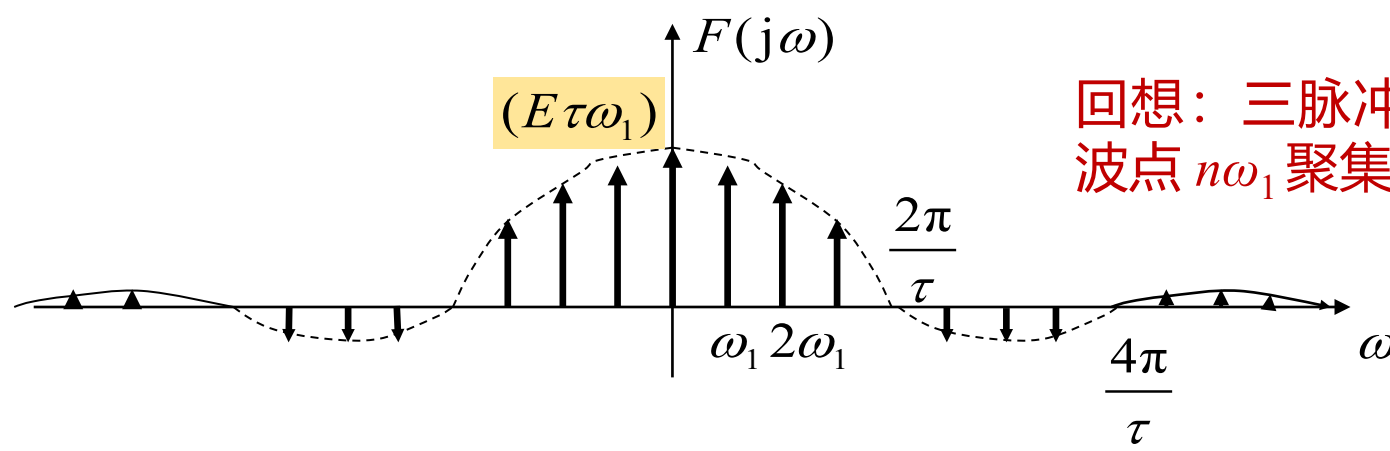
解：已知矩形脉冲 $f_0(t)$ 的傅里叶变换 $F_0(j\omega)$ 为 $F_0(j\omega) = E\tau \cdot \text{Sa}(\frac{\omega\tau}{2})$

则傅里叶级数展开系数 $F_n = \frac{1}{T_1} F_0(j\omega) \Big|_{\omega=n\omega_1} = \frac{E\tau}{T_1} \text{Sa}(\frac{n\omega_1\tau}{2})$

$$f(t) = \sum_{n=-\infty}^{\infty} F_n e^{jn\omega_1 t} = \frac{E\tau}{T_1} \sum_{n=-\infty}^{\infty} \text{Sa}\left(\frac{n\omega_1 \tau}{2}\right) e^{jn\omega_1 t}$$



$$F(j\omega) = 2\pi \sum_{n=-\infty}^{\infty} F_n \cdot \delta(\omega - n\omega_1) = E\tau \omega_1 \sum_{n=-\infty}^{\infty} \text{Sa}\left(\frac{n\omega_1 \tau}{2}\right) \delta(\omega - n\omega_1)$$



回想：三脉冲矩形的频谱，频谱向谐波点 $n\omega_1$ 聚集，聚集为冲激函数

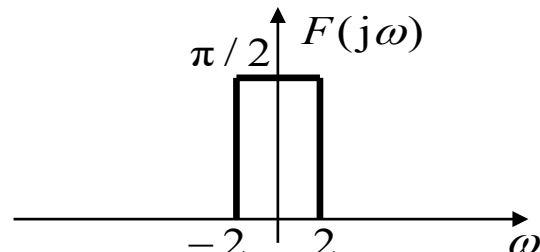
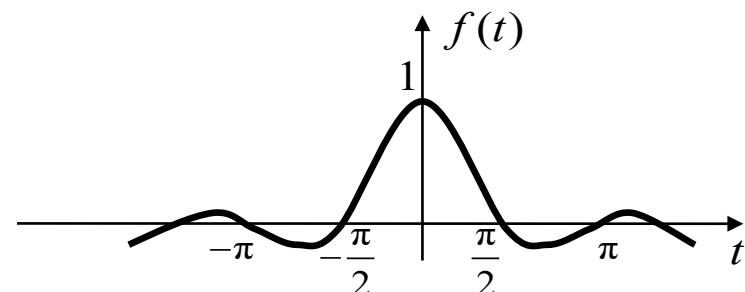
3. 已知初始状态为0的LTI系统流程图，画出两个系统卷积之后的幅度谱、以及被采样后的幅度谱，分析奈奎斯特采样频率。

例3：已知信号 $f(t) = \text{Sa}(2t)$ ，用 $\delta_{T_s}(t) = \sum_{n=-\infty}^{\infty} \delta(t - nT_s)$ 对其进行抽样，

- (1) 确定奈奎斯特抽样频率；
- (2) 若取 $\omega_s = 6\omega_m$ ，求抽样信号 $f_s(t) = f(t)\delta_{T_s}(t)$ ，并画出波形图；
- (3) 求 $F_s(j\omega) = \mathcal{F}[f_s(t)]$ ，并画出频谱图；
- (4) 确定低通滤波器的截止频率 ω_c 。

解：(1) $\because f(t) = \text{Sa}(2t)$

$$\therefore F(j\omega) = \frac{\pi}{2} [u(\omega + 2) - u(\omega - 2)]$$



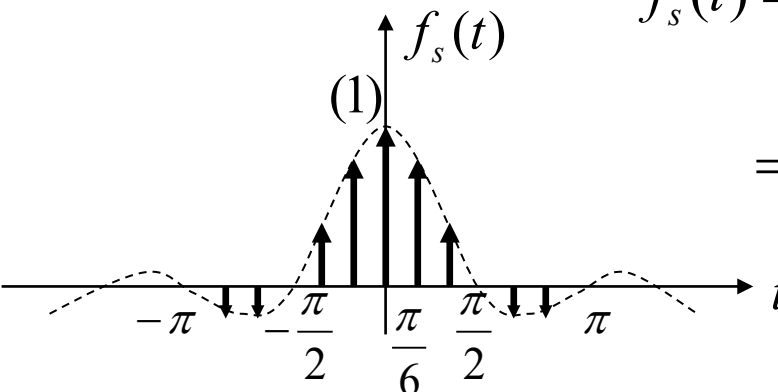
奈奎斯特抽样频率为：

$$f_{s \min} = 2f_m = 2 \times \frac{2}{2\pi} = \frac{2}{\pi} \text{ Hz}$$

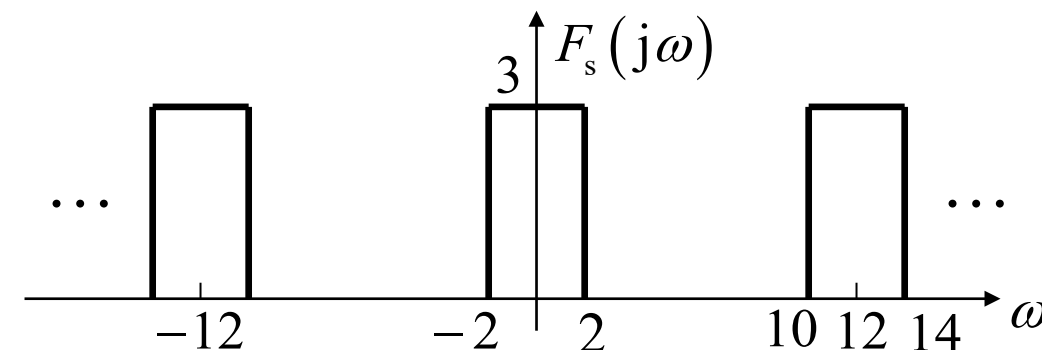
$$(2) \because \omega_s = 6\omega_m = 12 \text{ rad/s} \quad \therefore T_s = \frac{2\pi}{\omega_s} = \frac{2\pi}{12} = \frac{\pi}{6} \text{ s}$$

$$f_s(t) = f(t)\delta_{T_s}(t) = \sum_{n=-\infty}^{\infty} f(nT_s)\delta(t-nT_s)$$

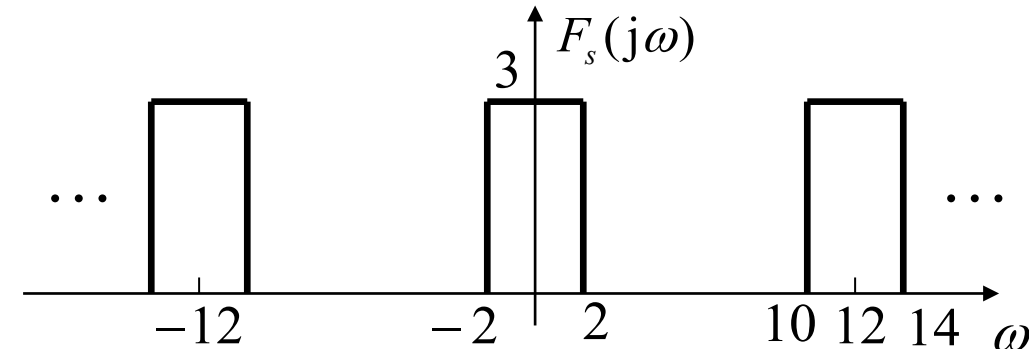
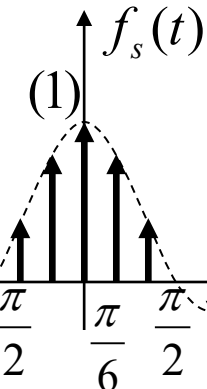
$$= \sum_{n=-\infty}^{\infty} \text{Sa}(2t)|_{t=nT_s} \delta(t-nT_s) = \sum_{n=-\infty}^{\infty} \text{Sa}\left(\frac{n\pi}{3}\right) \delta\left(t-\frac{\pi}{6}n\right)$$



$$(3) \quad F_s(j\omega) = \frac{1}{T_s} \sum_{n=-\infty}^{\infty} F[j(\omega - n\omega_s)] = \frac{6}{\pi} \sum_{n=-\infty}^{\infty} F[j(\omega - 12n)] = 3 \sum_{n=-\infty}^{\infty} [u(\omega + 2 - 12n) - u(\omega - 2 - 12n)]$$



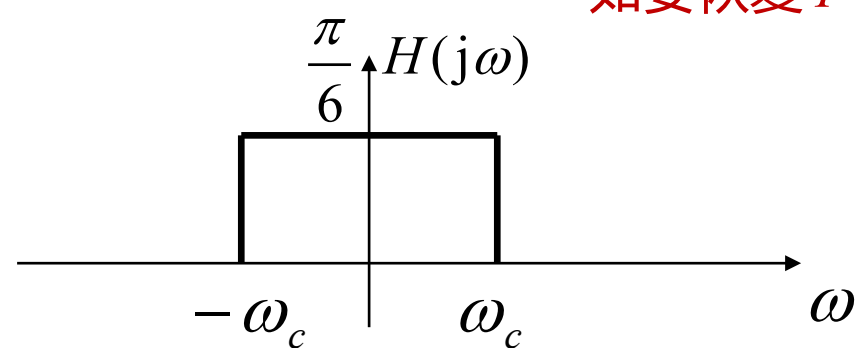
(4)



低通滤波器的截止频率 ω_c 应满足: $\omega_m \leq \omega_c \leq \omega_s - \omega_m$

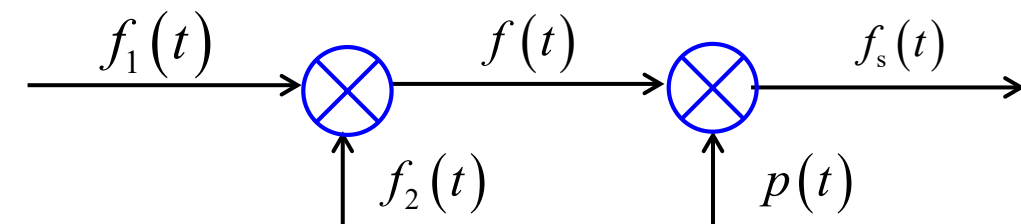
即 $2 \leq \omega_c \leq 10$

如要恢复 $F(j\omega)$, 低通滤波器幅值 T_s



例3-23：如图所示， $f_1(t) = \text{Sa}(1000\pi t)$, $f_2(t) = \text{Sa}(2000\pi t)$, $p(t) = \sum_{n=-\infty}^{\infty} \delta(t - nT)$ 。

$$f(t) = f_1(t)f_2(t), \quad f_s(t) = f(t)p(t)。$$



(1) 为从 $f_s(t)$ 无失真恢复 $f(t)$ ，求最大抽样间隔 T_{\max} 。

(2) 当 $T = T_{\max}$ 时，画出 $f_s(t)$ 的幅度谱 $|F_s(\omega)|$ 。

解：(1) 由于

$$f_1(t) = \text{Sa}(1000\pi t) \leftrightarrow 10^{-3} [u(\omega + 1000\pi) - u(\omega - 1000\pi)] = F_1(\omega)$$

$$f_2(t) = \text{Sa}(2000\pi t) \leftrightarrow \frac{1}{2} 10^{-3} [u(\omega + 2000\pi) - u(\omega - 2000\pi)] = F_2(\omega)$$

则 $F(\omega) = \frac{1}{2\pi} F_1(\omega)^* F_1(\omega)$

$$F(\omega) = \frac{10^{-6}}{4\pi} [u(\omega + 1000\pi) - u(\omega - 1000\pi)] * [u(\omega + 2000\pi) - u(\omega - 2000\pi)]$$

$$= \frac{10^{-6}}{4\pi} \{u(\omega) * [\delta(\omega + 1000\pi) - \delta(\omega - 1000\pi)] * u(\omega) * [\delta(\omega + 2000\pi) - \delta(\omega - 2000\pi)]\}$$

$$= \frac{10^{-6}}{4\pi} [u(\omega) * u(\omega)] * [\delta(\omega + 1000\pi) - \delta(\omega - 1000\pi)] * [\delta(\omega + 2000\pi) - \delta(\omega - 2000\pi)]$$

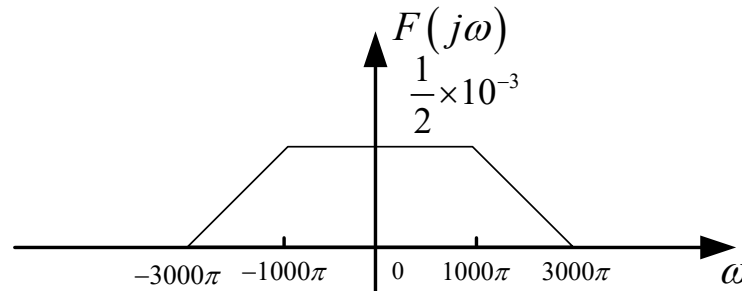
$$= \frac{10^{-6}}{4\pi} \{\omega u(\omega) * [\delta(\omega + 3000\pi) - \delta(\omega - 1000\pi) - \delta(\omega + 1000\pi) + \delta(\omega - 3000\pi)]\}$$

$$= \frac{10^{-6}}{4\pi} [(\omega + 3000\pi)u(\omega + 3000\pi) - (\omega - 1000\pi)u(\omega - 1000\pi) - (\omega + 1000\pi)u(\omega + 1000\pi) + (\omega - 3000\pi)u(\omega - 3000\pi)]$$

$$= \frac{10^{-6}}{4\pi} \{(\omega + 3000\pi)[u(\omega + 3000\pi) - u(\omega + 1000\pi)] + 2000\pi[u(\omega + 1000\pi) - u(\omega - 1000\pi)] - (\omega - 3000\pi)[u(\omega - 1000\pi) - u(\omega - 3000\pi)]\}$$

从图可见 $\omega_m = 3000\pi$

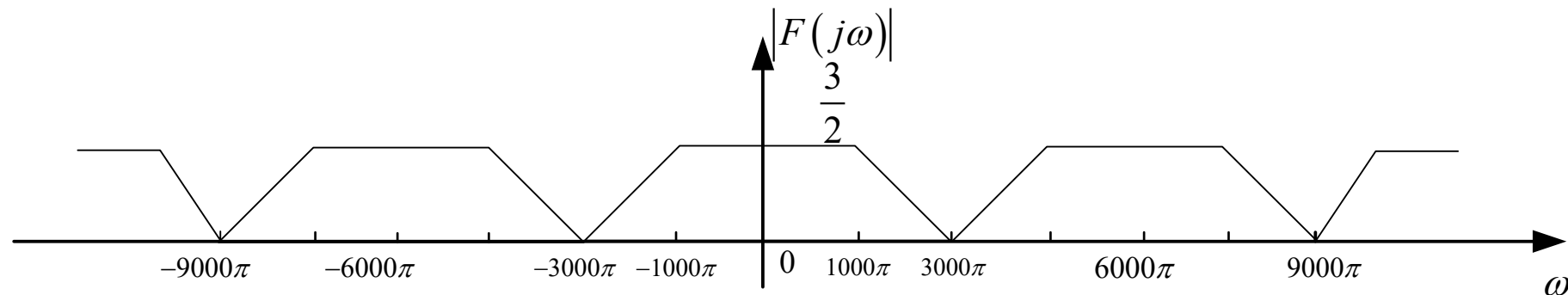
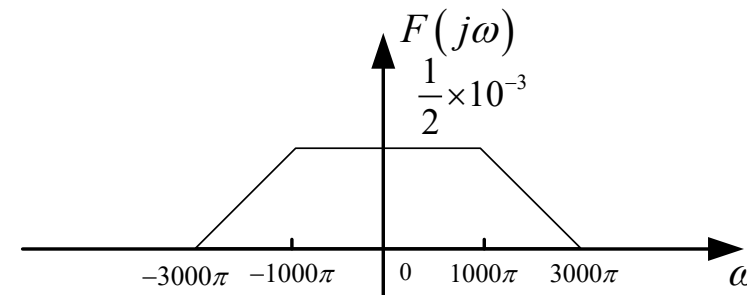
$$T_{\max} = \frac{2\pi}{\omega_{\min}} = \frac{2\pi}{2\omega_m} = \frac{1}{3000} \text{ s}$$



(2)对于冲激抽样，抽样信号的频谱

$$F_s(\omega) = \frac{1}{T_s} \sum_{n=-\infty}^{\infty} F(\omega - n\omega_s)$$

- 当 $T_s = T_{\max}$ 时 $\omega_s = \frac{2\pi}{T_{\max}} = 2\omega_m = 6000\pi$



4. 会看零极点图、写出系统函数，初值/终值定理， $H(s)$ - $h(t)$ 相互转换；
 利用拉式变换，求零状态响应；
 根据系统函数画框图
 根据零极点判断稳定性、分析频率响应。

例：已知系统函数如下，试作出它的零极点图，求出其单位冲激响应并画出其波形图。

$$H_1(s) = \frac{s+1}{s(s+2)}$$

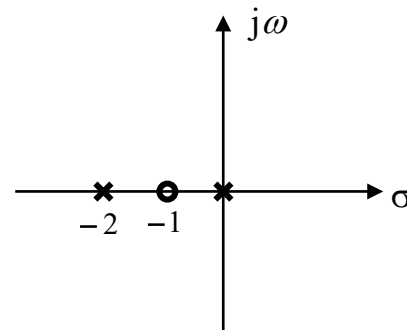
$$H_2(s) = \frac{s+1}{s^2 + 2s + 2}$$

$$H_3(s) = \frac{1}{(s+1)^2}$$

解： $H_1(s)$ 的零极点图如下：

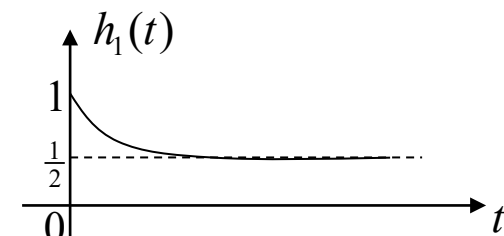
因为

$$H_1(s) = \frac{s+1}{s(s+2)} = \frac{1}{2s} + \frac{1}{2(s+2)}$$

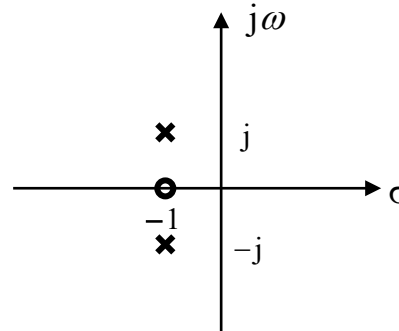


所以

$$h_1(t) = \frac{1}{2}(1 + e^{-2t})u(t)$$

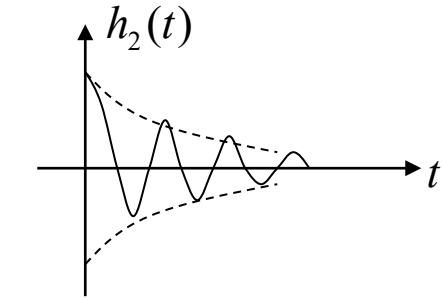


$H_2(s)$ 的零极图如下:

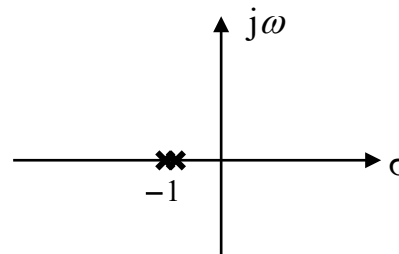


$$H_2(s) = \frac{s+1}{s^2 + 2s + 2} = \frac{s+1}{(s+1)^2 + 1}$$

$$h_2(t) = e^{-t} \cos tu(t)$$

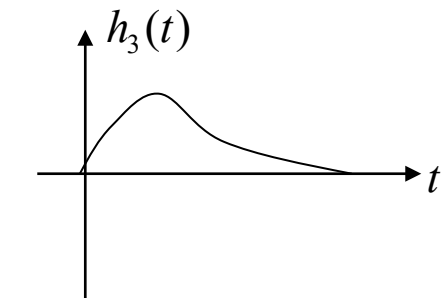


$H_3(s)$ 的零极图如下:



$$H_3(s) = \frac{1}{(s+1)^2}$$

$$h_3(t) = te^{-t}u(t)$$



由上例可见，若极点是多重极点，其对应的时间波形与单极点是不一样的。

例4-29: 已知某LTI系统的激励 $e(t) = (e^{-t} + e^{-3t})u(t)$, 零状态响应为 $r(t) = (2e^{-t} - 2e^{-4t})u(t)$, 求 (1) 系统的单位冲激响应 $h(t)$; (2) 系统的微分方程; (3) 画出系统零、极点图。

解: (1) 先求激励和响应的拉氏变换

$$E(s) = \frac{2(s+2)}{(s+1)(s+3)}$$

$$R(s) = \frac{6}{(s+1)(s+4)}$$

系统函数 $H(s) = \frac{R(s)}{E(s)} = \frac{3(s+3)}{(s+2)(s+4)} = \frac{3}{2} \left[\frac{1}{(s+2)} + \frac{1}{(s+4)} \right]$

拉氏逆变换求 $h(t)$
$$h(t) = \frac{3}{2} (e^{-2t} + e^{-4t})u(t)$$

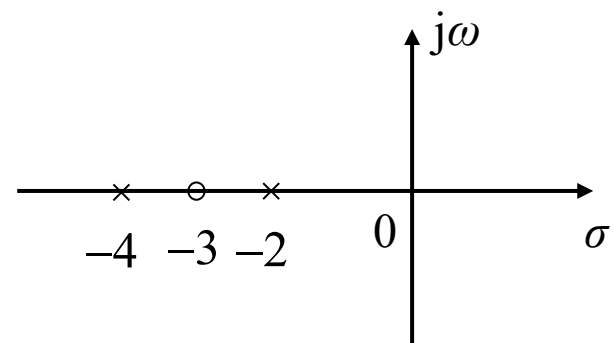
(2) 又因为 $H(s) = \frac{R(s)}{E(s)} = \frac{3s + 9}{s^2 + 6s + 8}$

$$(s^2 + 6s + 8)R(s) = (3s + 9)E(s)$$

再求拉氏逆变换

$$r''(t) + 6r'(t) + 8r(t) = 3e'(t) + 9e(t)$$

(3) 两个极点 $p_1 = -2, p_2 = -4$, 一个零点 $z_1 = -3$ 。



例4-29: 已知某LTI系统的激励 $e(t) = (e^{-t} + e^{-3t})u(t)$, 零状态响应为 $r(t) = (2e^{-t} - 2e^{-4t})u(t)$, 求 (1) 系统的单位冲激响应 $h(t)$; (2) 系统的微分方程; (3) 画出系统零、极点图。

解: (1) 先求激励和响应的拉氏变换

$$E(s) = \frac{2(s+2)}{(s+1)(s+3)}$$

$$R(s) = \frac{6}{(s+1)(s+4)}$$

系统函数 $H(s) = \frac{R(s)}{E(s)} = \frac{3(s+3)}{(s+2)(s+4)} = \frac{3}{2} \left[\frac{1}{(s+2)} + \frac{1}{(s+4)} \right]$

拉氏逆变换求 $h(t)$
$$h(t) = \frac{3}{2} (e^{-2t} + e^{-4t})u(t)$$

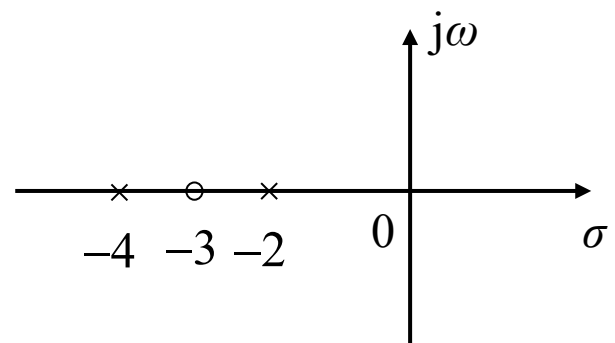
(2) 又因为 $H(s) = \frac{R(s)}{E(s)} = \frac{3s + 9}{s^2 + 6s + 8}$

$$(s^2 + 6s + 8)R(s) = (3s + 9)E(s)$$

再求拉氏逆变换

$$r''(t) + 6r'(t) + 8r(t) = 3e'(t) + 9e(t)$$

(3) 两个极点 $p_1 = -2, p_2 = -4$, 一个零点 $z_1 = -3$ 。



谢谢大家！

祝同学们期末考试取得好成绩！

哈尔滨工业大学（深圳）

信息科学与技术学院

曹杰

办公室：信息楼1208 Email: caojh@sz.hitsz.edu